

ПРОВ 98

Пров.ИКД

ПРОВ 2010

АКАДЕМИЯ НАУК УКРАИНСКОЙ СОВ  
ОРДЕНА ТРУДОВОГО КРАСНОГО ЗНАМЕНИ  
ИНСТИТУТ БИОЛОГИИ ЮЖНЫХ МОРЕЙ  
им. А. О. КОВАЛЕВСКОГО

---

# Экология моря

---

РЕСПУБЛИКАНСКИЙ  
МЕЖВЕДОМСТВЕННЫЙ СВОРНИК

Основан в 1980 г.

Выпуск 2

Институт биологии  
южных морей АН УССР

БИБЛИОТЕКА

№ 5 СК

4

КИЕВ «НАУКОВА ДУМКА» 1980

7. Камшилов М. М. Определение веса *Calanus finmarchicus* Gunner на основании измерения длины тела. — Докл. АН СССР, 1951, 76, № 6, с. 945—948.
8. Ковалев А. В. Изменчивость и некоторые экологические особенности Сорепода черноморского планктонного комплекса в морях Средиземноморского бассейна: Автореф. дис. ...канд. биол. наук. — Л., 1967. — 17 с.
9. Ковалев А. В. Сезонные изменения веса копепод и вопрос определения их биомассы. — В кн.: Биология и распределение планктона южных морей. М.: Наука, 1967, с. 152—157.
10. Ковалев А. В. Изменчивость некоторых планктонных Сорепода (Crustacea) в морях Средиземноморского бассейна. — Биология моря, Киев, 1969, вып. 17, с. 144—197.
11. Новицкий В. П. Вертикальное строение водной толщи и общие черты циркуляции вод Черного моря. — Тр. Аз.-Черномор. НИИ мор. рыб. хоз-ва и океанографии, 1964, 23, с. 3—22.
12. Петипа Т. С. О среднем весе основных форм зоопланктона Черного моря. — Тр. Севастоп. биол. станции, 1957, 9, с. 39—57.
13. Петипа Т. С. О питании гипонектонного рака *Pontella mediterranea* Claus в Черном море. — Биология моря, Киев, 1969, вып. 17, с. 54—65.
14. Петипа Т. С. Изучение биологических закономерностей функционирования планктонных пелагических экосистем. — В кн.: Исследования биологических ресурсов и их охраны в южных морях. Киев: Наук. думка, 1977, с. 26—31.
15. Рокицкий П. Ф. Биологическая статистика. — Минск: Вышэйш. школа, 1973. — 320 с.
16. Сажина Л. И. Рост массовых копепод Черного моря в лабораторных условиях. — Биология моря, Киев, 1973, вып. 28, с. 41—51.
17. Стрелков Р. Б. Метод вычисления стандартной ошибки и доверительных интервалов средних арифметических величин с помощью таблиц. — Сухуми: Алашара, 1966. — 41 с.

Одесское отделение  
Института биологии южных морей  
им. А. О. Ковалевского АН УССР

Поступила в редакцию  
16.04.79

L. N. POLISHCHUK  
**SIZE AND MASS CHARACTERIZATION  
 OF HYPONEUSTON COPEPODS OF THE FAMILY  
 PONTELLIDAE (COPEPODA) FROM DIFFERENT  
 BLACK SEA WATER AREAS**

**Summary**

Two species of the family Pontellidae, *Pontella mediterranea* Claus and *Anomalocera patersoni* Templeton, are shown to have local differences in their body size and mass in the summer-autumn period within the Black Sea regions of different living conditions (the north-western and south-eastern parts, the western halistase and the Bosphorus region). The smallest (lightest) individuals are confined to the north-western part, the largest (heaviest) ones are timed to the western halistase and in the Bosphorus region. Differences in the body length (mass) in the individuals of one and the same species living in different regions of the sea indicate a relative population division into smaller modification groups. The point of view on a considerable effect of water temperature and salinity on the organism size and mass is confirmed.

УДК 595.34:591.173(213.5)

Л. С. СВЕТЛИЧНЫЙ

**О НЕКОТОРЫХ ДИНАМИЧЕСКИХ ПАРАМЕТРАХ  
 ПАССИВНОГО ПОГРУЖЕНИЯ ТРОПИЧЕСКИХ КОПЕПОД**

Планктонные организмы, несмотря на малые размеры и значительную плотность морской воды, испытывают воздействие гравитационного притяжения и постоянно погружаются. Скорость пассивного погружения, а следовательно, и остаточная масса могут достигать у них таких величин, что они становятся одними из определяющих аутэкологических факторов [4, 8]. Чтобы выяснить скорость пассивного погружения и плотность тела у тропических копепод, в 30-м рейсе НИС «Михаил Ломоносов» было поставлено 107 опытов на 27 видах и 20 опы-

тов для изучения влияния температуры воды на скорость погружения животных.

Скорость погружения измеряли по методике, примененной Ю. Р. Рудяковым [4]. Диаметр внутренней трубы используемого ходильника Либиха составлял 15 мм. В окружающем эту трубку стеклянном кожухе циркулировала поверхностная морская вода, температура которой при необходимости изменялась посредством термостата. Отрезок пути, на котором производились измерения, зависел от скорости и выбирался в пределах от 1 до 10 см с тем, чтобы время единичного измерения не превышало 1 мин. Увеличение измеряемого перемещения оказалось нецелесообразным, поскольку возрастила вероятность соприкосновения раков со стенками трубы. Чтобы уменьшить случайные воздействия среды, измерения повторяли от 3 до 12 раз (в среднем 5). Средняя квадратичная ошибка единичного результата не превышала 5%.

Плотность копепод определяли косвенно, по скорости их пассивного погружения [5]. При погружении в жидкости совокупность действующих на тело сил описывается уравнением динамического равновесия

$$\rho_0 W_g - \rho W_g - \xi S \rho \frac{v^2}{2} = 0, \quad (1)$$

где  $\rho_0$  — плотность организма;  $\rho$  — плотность воды;  $W$  — объем оси;  $S$  — ее поперечное сечение;  $v$  — скорость пассивного погружения;  $g$  — ускорение свободного падения;  $\xi$  — коэффициент гидродинамического сопротивления. Первый член уравнения представляет собой силу тяжести планктера  $P$ , второй — выталкивающую силу  $P_1$ , третий — равнодействующую силу полного гидродинамического сопротивления  $R$ .

Плотность организма определяется из уравнения (1)

$$\rho_0 = \rho \left( 1 + \xi \frac{S}{W} \cdot \frac{v^2}{2g} \right). \quad (2)$$

Точность конечного результата в данном случае зависит от корректности определения  $\xi$ -,  $W$ - и  $S$ -характеристик, специфических для каждого вида. Их значения приведены в работах [6, 7] для копепод, сходных в морфологии с *Calanus helgolandicus*, *Paracalanus parvus*, *Rhincalanus cornutus*, *Centropages ponticus* и *Acartia slausi*, погружающихся в трубках при отношении ширины тела  $d$  к диаметру трубы  $D$   $d/D \approx 0,1$ .

Плотность копепод, отличающихся от приведенных выше, определяли по скорости их пассивного погружения в двух жидкостях с различными физическими характеристиками. При обоих измерениях использовали одну и ту же морскую воду, взятую из места отлова раков, но при различной температуре, а следовательно, и плотности.

В соответствии с (2) соотношения для определения  $\rho_0$  копепод по этому методу такие:

$$\rho_0 = \rho_1 \left( 1 + \xi_1 \frac{S}{W} \cdot \frac{v_1^2}{2g} \right), \quad (3)$$

$$\rho_0 = \rho_2 \left( 1 + \xi_2 \frac{S}{W} \cdot \frac{v_2^2}{2g} \right). \quad (4)$$

Коэффициент сопротивления  $\xi$ , зависящий от числа Рейнольдса  $Re$ , где  $Re = \frac{vL}{\nu}$  ( $L$  — определяющий размер организма, в данном случае наибольшая его ширина), представим как

$$\xi = \frac{c}{Re^n} = \frac{cv^n}{v^n L^n}, \quad (5)$$

Таблица 1

Скорость пассивного погружения  $v$  тропических копепод, см·с<sup>-1</sup>

Вид	Длина, мм	$t, {}^{\circ}\text{C}$	Число особей	Скорость погружения			
				головой вниз, антенулы сложены		абдоменом вниз, антенулы расправлена	
				$v$	$s_n^{**}$	$v$	$s_n$
Calanus carinatus ♀	2,4—2,7	19	13	0,360	0,170	0,305	0,187
♂	2,7	19	2	0,522	0,092	—	—
Calanus gracilis ♀	3,3	28	2	0,93	0	—	—
Calanus robustior ♀	3,4—4,4	24	11	0,903	0,198	0,585	0,035
Rhincalanus nasutus ♀	5,0	20	2	—	—	0	0
Undinula vulgaris ♀	2,4—2,5	28	11	0,975	0,154	0,582*	0,072
♂	2,4	28	3	0,860	—	0,625*	0,021
Fucalanus attenuatus ♀	4,4	24	4	0,860	0,079	0,470	—
Fuchaeta marina ♀	3,0—3,6	25	4	—	—	0,435*	0,09
Fuchirella curticauda ♀	4,4	26	1	0,960	—	—	—
Fuchirella sp. ♀	2,7—4,0	28	4	—	—	1,064*	0,254
Candacia pachidactila ♀	1,1—2,4	28	2	—	—	0,608	0,073
♂	1,1	28	1	—	—	0,810	—
Pleuroamma abdominalis ♂	2,7—3,3	26	2	—	—	0,821*	0,140
Undeuchaeta plumosa ♀	3,4	26	2	—	—	0,980	0
Scolecitrix sp. ♀	1,5—2,0	23	2	—	—	0,599*	0,100
Haloptilus longicornis ♀	2,1—2,3	26	3	—	—	0,057	0,024
Pontellina plumata ♀	1,7	23	1	—	—	0,375	—
Gaetanus sp. ♂	4,0	25	1	—	—	0,72 *	—
Labidocera acutifrons ♀	3,2—3,8	28	3	—	—	1,480	0,380
♂	2,7—2,9	28	4	—	—	1,096*	0,289
Centropages violaceus ♂	1,9	27	1	—	—	0,301	—
Acartia negligens ♀	1,1	26	—	—	—	104	—
Acartia clausi ♀	1,1—1,2	20	5	0,127	0,04	0,075	0,007
♂	1,1	20	6	0,175	0,056	0,078	—
Oncaea venusta ♂	1,1	23	2	0,288	0,083	0,078	—
Corycaeus limbatus ♂	1,5	23	1	0,171	—	—	—

\* Ось симметрии располагалась перпендикулярно или под большим углом к направлению движения.

\*\* Среднее квадратичное отклонение.

где  $c$  и  $n$  — безразмерные коэффициенты, первый определяет высоту расположения прямой  $\xi = f(\text{Re})$  [6], второй — угол ее наклона. Общий член  $\frac{S}{W}$  исключим из системы уравнений, подставив его из выражения (4) в (3). После преобразований относительно искомой величины получаем

$$\rho_0 = \frac{1 - \left(\frac{v_1}{v_2}\right)^n \cdot \left(\frac{v_1}{v_2}\right)^{2-n}}{\frac{1}{\rho_1} - \frac{1}{\rho_2} \cdot \left(\frac{v_1}{v_2}\right)^n \cdot \left(\frac{v_1}{v_2}\right)^{2-n}}. \quad (6)$$

Значения показателя степени  $n$ , рассчитанные по данным [6] для исследованных копепод, различались незначительно и оказались близкими к  $n=1$  в условиях  $d/D \approx 0,1$ . Это обстоятельство позволило расширить видовой состав изучаемых организмов.

В момент пассивного состояния, которое у копепод чередуется с активным, ракки парят с расправленаими антенулами. Анестезированные и умерщвленные особи обычно сохраняют такое же положение, однако под действием наркотиков нередко мускулатура органов локомоции сокращается, антенулы прижимаются к телу и при пассивном погружении ракок поворачивается головой вниз. В связи с этим средние значения скоростей группировались отдельно для двух типов движения (табл. 1).

Таблица 2

**Средняя плотность тела копепод из тропической Атлантики**

Вид	Длина, мм	Число особей	Плотность, г/см³		
			максимальная	средняя	минимальная
Первый метод					
Calanus carinatus	2,6±0,2	10	1,0763	1,0538	1,0373
Calanus gracilis	3,3	2	—	1,0759	—
Calanus robustior	3,9±0,2	9	1,0584	1,0479	1,0404
Rhincalanus nasutus	4,5	2	—	1,0250	—
Undinula vulgaris	2,4	12	1,0857	1,0724	1,0606
Acartia clausi	1,1	10	1,1007	1,0709	1,0523
Второй метод					
Calanus carinatus	2,7	1	—	1,0485	—
Calanus robustior	3,9	1	—	1,0605	—
Gaetanus sp.	4,1	1	—	1,0599	—
Fuchirella venusta	5,0	1	—	1,0564	—
Fuchirella sp.	4,0	1	—	1,0778	—
Candacia pachydactila	2,5	1	—	1,0841	—
Undeuchaeta plumosa	3,5	1	—	1,0830	—
Euchaeta marina	4,4	1	—	1,0711	—
Euchaeta marina	3,3	1	—	1,0713	—
Euchaeta marina Cop. V	2,5	1	—	1,0500	—
Undeuchaeta plumosa	3,5	1	—	1,0854	—
Pleuromamma abdominalis	2,7	1	—	1,0747	—
Undinula vulgaris	2,5	1	—	1,0887	—
Scolecitrix sp.	2,0	1	—	1,1296	—
Acartia negligens	1,2	1	—	1,0417	—

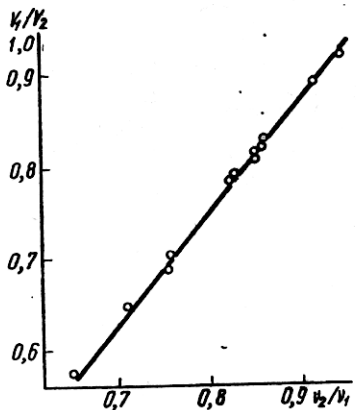
Поскольку данные о скоростях погружения используются для анализа процессов в природе [4, 5, 10], необходимо определить представительность результатов, полученных на обездвиженных особях. Очевидно, данные о пассивном погружении со сложенными антеннами, что не типично, могут быть применены только для косвенных расчетов. Напротив, сохранение всех особенностей положения органов локомоции и концевых опущенных щетин на них при пассивном погружении большинства обездвиженных раков с расправленаими антеннами позволяет использовать эти данные для экологических расчетов, например, вертикального перемещения копепод. О том же свидетельствуют результаты киносъемки погружения живых особей в момент полного замыкания и измерения у умерщвленных затем раков. Так, скорости пассивного погружения у *Fuchirella* sp. в обоих случаях составили  $0,66 \text{ см} \cdot \text{с}^{-1}$ .

При сопоставлении полученных средних величин скоростей пассивного погружения выявились их общая зависимость от размеров тела особей в пределах исследованной группы копепод. Рассмотрим этот вывод с позиций теории гидродинамики.

При установившемся движении, с учетом (1) и (5), при  $n=1$  и  $S = \frac{\pi d^2}{4}$  скорость погружения раков  $v = \frac{8 W g (\rho_0 - \rho)}{\pi c v \rho d}$ . Выразив линейный размер организма через  $L$ , получаем  $W \sim L^3$ ,  $d \sim L$ , откуда  $v \sim \sim \frac{L^2 (\rho_0 - \rho)}{c}$ . Следовательно, выявленная в опытах зависимость  $v$  от  $L$  возможна только тогда, когда диапазон изменения плотности раков меньше диапазона квадратичного изменения их размеров. Как видно из табл. 2, при  $\rho = 1,025 \text{ г/см}^3$  ( $\rho_0 - \rho$ ) у раков с отрицательной плавучестью изменяется в 10 раз, а  $L^2$  — в 25.

Вместе с тем у отдельных видов отмечена способность значительно уменьшать свою плотность и скорость погружения, на это же обраща-

ется внимание в работе [4]. Функции гидростатического аппарата у копепод выполняют капли метаболического жира [2], но поскольку его запасы подвержены значительным сезонным [11] и суточным изменениям [3], можно предположить наличие соответствующих им изменений скоростей пассивного погружения. Действительно, диапазон изменений



Зависимость относительного изменения скорости пассивного погружения копепод от кинематической вязкости воды  $\left(\frac{\nu_2}{\nu_1}\right)$ . Прямая линия показывает теоретическую зависимость  $\frac{v_1}{v_2}$  от  $\frac{\nu_2}{\nu_1}$  и соответствующих  $\rho$  по формуле (7) для копепод с  $\rho_0 = 1,080 \text{ г}/\text{см}^3$ . Параметры воды рассчитаны по таблицам Зубова [1]. Кружками обозначены экспериментальные результаты для копепод с  $1,074 \leq \rho_0 \leq 1,088 \text{ г}/\text{см}^3$ .

нений скорости у *C. carinatus* вдвое превышает таковой у *Undinula vulgaris*, не обладающих большими запасами жира. Как правило, у не способных накапливать жир видов скорости изменяются в узких пределах около характерной средней для данного возраста величины. Некоторые смещения флуктуаций скоростей погружения могут быть связаны с плотностными и температурными характеристиками воды.

Изменение скорости как следствие изменения температуры и соответствующей ей плотности воды можно записать в виде равенства

$$\frac{v_1}{v_2} = \frac{\nu_2 \rho_2 (\rho_0 - \rho_1)}{\nu_1 \rho_1 (\rho_0 - \rho_2)}, \quad (7)$$

которое вытекает из отношения (6) при  $n=1$ .

Данные, полученные экспериментально, как оказалось, хорошо согласуются со значениями  $\frac{V_1}{V_2}$  (см. рисунок), рассчитанными по уравнению (7).

Плотность тропических каланид с отрицательной плавучестью изменялась в пределах  $1,0373-1,129 \text{ г}/\text{см}^3$  (см. табл. 2). Минимальные величины отмечены у *C. carinatus*, максимальные — у *Undinula vulgaris* и *Scolecitrix* sp. Наиболее широкий диапазон плотностей имеют виды, содержащие много запасного жира.

Таким образом, внутривидовые флуктуации скорости погружения и плотности тела, по-видимому, имеют характерные пределы, зависящие от особенностей обменных процессов в организме, например от сезонной и суточной динамики химического состава, толщины хитиновых покровов, а также, возможно, от состава и количества съеденной пищи [9].

1. Зубов Н. Н. Океанологические таблицы. — Л.: Гидрометеоиздат, 1957. — 406 с.
2. Киселев И. А. Планктон морей и континентальных водоемов. — Л.: Наука, 1969. — Т. 1, 656 с.
3. Петипа Т. С. Суточный ритм расхода и накопления жира у *Calanus helgolandicus* (Claus) в Черном море. — Докл. АН СССР, 1964, 156, № 6, с. 1440—1443.
4. Рудяков Ю. А. Скорость пассивного вертикального перемещения планктонных организмов. — Океанология, 1972, 12, вып. 6, с. 1066—1071.
5. Степанов В. Н., Светличный Л. С. Динамический метод расчета некоторых параметров, связанных с биоэнергетикой морских пелагических ракообразных. — В кн.: Гидробиология и биogeография шельфов холодных и умеренных вод Мирового океана. Л.: Наука, 1974, с. 126—127.

6. Степанов В. Н., Светличный Л. С. Результаты исследования на моделях гидродинамического сопротивления некоторых видов Сорепода. — Биология моря, Киев, 1976, вып. 39, с. 42—46.
7. Степанов В. Н., Светличный Л. С. Методы определения объемов планктонных ракообразных. — Биология моря, Киев, 1976, вып. 39, с. 46—51.
8. Eyden D. Specific gravtiy as a factor in the vertical distribution of plankton. — Proc. Cambr. Phil. Soc. Biol. Sci., 1923, N 1, p. 49—55.
9. Gardiner A. C. Vertical distribution in *Calanus finmarchicus*. — J. Mar. Biol. Assoc. U. K., 1933, 18, N 2, p. 575—610.
10. Marshall S. M., Orr A. P. The biology of a marine copepod *calanus finmarchicus* (*Gunneus*). — London, 1972. — 194 p.
11. Shildress S. S., Nygaard M. Chemical composition and buoyancy of midwater crustaceans as function of depth of occurrence of Southern California. — Mar. Biol., 1974, 27, N 3, p. 225—238.

Институт биологии южных морей  
им. А. О. Ковалевского АН УССР

Поступила в редакцию  
21.03.78

L. S. SVETLICHNY

## ON CERTAIN DYNAMIC PARAMETERS OF TROPICAL COPEPOD PASSIVE SUBMERSION

### Summary

The passive submersion rate and the body mean density were measured for tropical copepod mass representatives, and the results obtained are given in the paper.

The organism submersion rate is revealed to be dependent on water temperature.

УДК 592:591.133.2.591.5(26)

З. А. МУРАВСКАЯ, Е. В. ПАВЛОВА, Г. Е. ШУЛЬМАН

## О ПОТРЕБЛЕНИИ КИСЛОРОДА И ЭКСКРЕЦИИ АЗОТА У *CALANUS HELGOLANDICUS* (CLAUS) И *PONTELLA MEDITERRANEA* CLAUS

Изучение закономерностей потребления кислорода, экскреции азота и использования белка в энергетическом обмене у морских организмов имеет существенное значение для количественных расчетов, связанных с проблемой биологической продуктивности. На морских беспозвоночных, в основном на планктонных ракообразных, показано влияние различных факторов на указанные параметры [7—10, 19, 21—27].

У различных видов копепод уровня потребления кислорода и экскреции азота при одинаковых стандартных условиях в каких-то пределах являются сходными [1, 6, 17, 29]. В то же время на фоне общей закономерности зависимости обмена от размеров, отличия в величинах обмена у отдельных видов, объясняемые особенностями экологии и функциональной морфологии, очевидно, существуют. Выявлены различия в уровнях потребления кислорода [11], экскреции азота и соотношения обеих величин у растительноядных и хищных копепод [21]. У различных морских беспозвоночных, в том числе ракообразных, отмечена связь уровня экскреции азота и потребления кислорода с относительным содержанием белка в теле и двигательной активностью [7, 9].

Среди копепод наиболее тщательно изучали показатели обмена у калянусов. Виды рода *Pontella* менее исследованы, хотя составляют многочисленную группу планктонных ракообразных и отличаются от калянусов особенностями обитания, характером питания и поведения. Представляло интерес выяснить, как влияют экологические различия на уровень экскреции азота, потребления кислорода, состав тела и энергетическую роль белка в общем обмене у этих двух видов.